

## プレートガーダー橋の横桁連結部の 疲労亀裂を支配する構造パラメータ

STRUCTURAL PARAMETERS GOVERNING FATIGUE CRACKS  
AT CROSS-BEAM CONNECTIONS OF PLATE GIRDERS

大倉一郎・瀧川浩之・福本勝士  
By Ichiro OKURA, Hiroyuki TAKIGAWA and Yuhshi FUKUMOTO

In many plate girder bridges, fatigue cracks occur at the connections between main girders and cross beams. In this paper, the structural parameters governing the fatigue cracks are theoretically derived, and then the relation between the parameters and the crack initiation is discussed.

### 1. 序論

多くのプレートガーダー橋において、主桁と横桁の連結部に図-1に示すような疲労亀裂が発生している。著者等は、過去の論文で、タイプ1と4の疲労亀裂を発生させた局部応力と橋の3次元挙動の関係を定式化した<sup>1), 2), 3)</sup>。本論文では、これらの疲労亀裂を支配する構造パラメータを理論的に誘導し、さらに、この構造パラメータと疲労亀裂発生の関係を議論する。

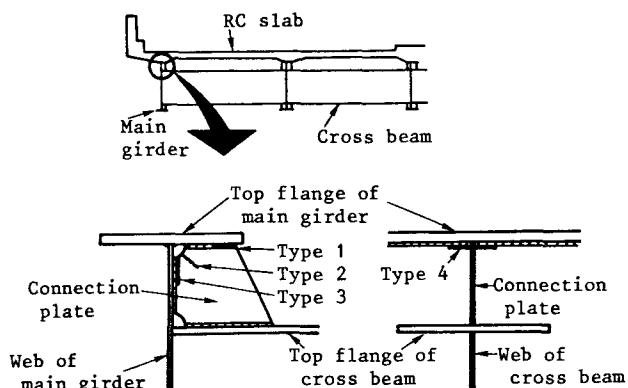


図-1 プレートガーダー橋の横桁連結部に発生する疲労亀裂

\* 工博 大阪大学助手 工学部土木工学科 (〒565 吹田市山田丘2番1号)

\*\* 大阪大学大学院生 工学部土木工学科 (〒565 吹田市山田丘2番1号)

\*\*\*Ph.D.、工博 大阪大学教授 工学部土木工学科 (〒565 吹田市山田丘2番1号)

## 2. コンクリート床版と横桁の回転が局部応力に与える影響

図-2に示すように、横桁連結部のコネクションプレートに生じる鉛直方向の膜応力 $\sigma_{my}$ と主桁のウェブに生じる板曲げ応力 $\sigma_{by}$ がタイプ1と4の疲労亀裂を発生させた局部応力を実際のプレートガーダー橋の応力実測より明らかにした<sup>3,4)</sup>。さらに、図-3を参照して、これらの局部応力とコンクリート床版の回転角および横桁の回転角の関係を次のように定式化した<sup>1),2)</sup>。

$$\begin{bmatrix} \sigma_{my} \\ \sigma_{by} \end{bmatrix} = \begin{bmatrix} k_{m1} & k_{m3} (\gamma - k_{m123}) \\ k_{b1} & k_{b3} (\gamma - k_{b123}) \end{bmatrix} \begin{bmatrix} \theta_{s0} \\ \theta_g \end{bmatrix} \quad (1)$$

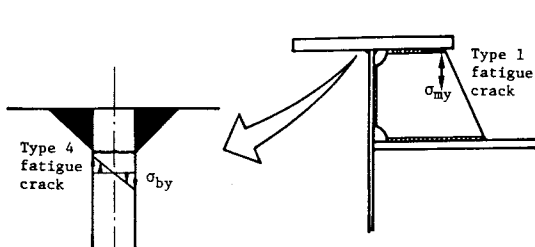


図-2 局部応力 $\sigma_{my}$ と $\sigma_{by}$

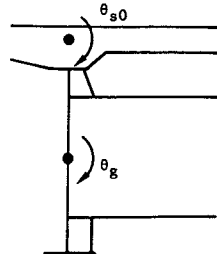
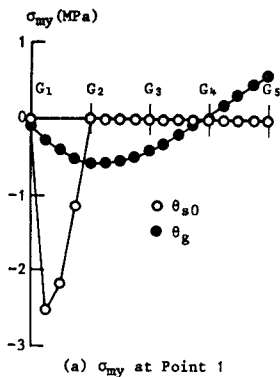
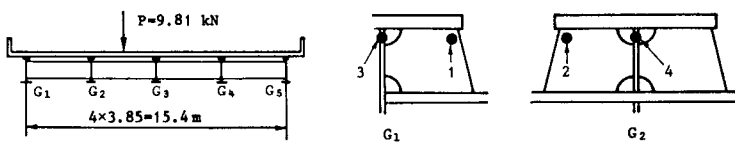
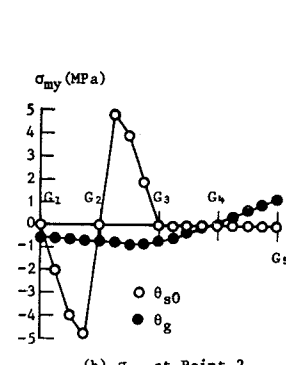


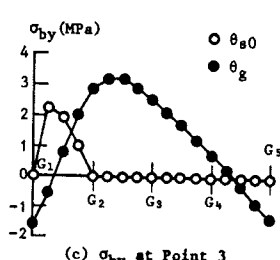
図-3 回転角 $\theta_{s0}$ と $\theta_g$



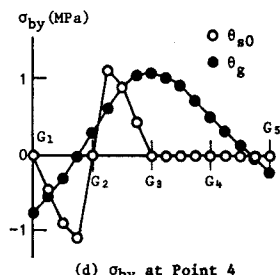
(a)  $\sigma_{my}$  at Point 1



(b)  $\sigma_{my}$  at Point 2



(c)  $\sigma_{by}$  at Point 3



(d)  $\sigma_{by}$  at Point 4

図-4 局部応力 $\sigma_{my}$ と $\sigma_{by}$ の変化

ここに、 $\theta_{s\theta}$ ：輪荷重によるコンクリート床版の板曲げ変形に起因するコンクリート床版の回転角、 $\theta_g$ ：主桁の鉛直変位に起因する横桁の回転角、 $\gamma$ ：車道の幅員方向の荷重の位置に依存する係数、 $k_m$ 、 $k_{m3}$ 、 $k_{m123}$ 、 $k_{b1}$ 、 $k_{b3}$ 、 $k_{b123}$ ：定数。

応力実測が行われたプレートガーダー橋<sup>1)~4)</sup>について、その車道幅員方向に集中荷重P=9.81kNが移動したときの $\sigma_{my}$ と $\sigma_{by}$ の変化を図-4に示す。白丸はコンクリート床版の回転角 $\theta_{s\theta}$ から生じる応力成分を表し、黒丸は横桁の回転角 $\theta_g$ から生じる応力成分を表す。 $\sigma_{my}$ に関して、 $\theta_{s\theta}$ から生じる応力成分の最大値に対する、 $\theta_g$ から生じる応力成分の最大値の比率は、G<sub>1</sub>桁の着目点1で0.22、G<sub>2</sub>桁の着目点2で0.17である。したがって、 $\sigma_{my}$ に対して $\theta_{s\theta}$ の影響が大きく、 $\theta_g$ の影響は小さい。他方、 $\sigma_{by}$ に関して、 $\theta_{s\theta}$ から生じる応力成分と $\theta_g$ から生じる応力成分とはほぼ等しい。したがって、 $\sigma_{by}$ に対しては $\theta_{s\theta}$ と $\theta_g$ が同程度に影響している。

### 3. 回転角 $\theta_{s\theta}$ と $\theta_g$ に影響を与える構造パラメータ

#### 3.1. コンクリート床版の回転角 $\theta_{s\theta}$ に影響を与える構造パラメータ

図-5を参照して、主桁直上のコンクリート床版の回転角 $\theta_{s\theta}$ が次のように与えられている<sup>1), 2)</sup>。

$$\theta_{s\theta} = \{1/(2\pi^2)\} (a/D_c) \{P f(x/a, y/a)\} \quad (2)$$

ここに、a：主桁間隔、D<sub>c</sub>：コンクリート床版の板曲げ剛性、f(x/a, y/a)：集中荷重Pの位置に関する関数。

コンクリート床版の板曲げ剛性D<sub>c</sub>がコンクリート床版の厚さの3乗に比例すると仮定すると、式(2)の中のa/D<sub>c</sub>は次式に比例する。

$$a/t_c^3 \quad (3)$$

ここに、t<sub>c</sub>：コンクリート床版の厚さ。

式(3)の逆数、すなわちt<sub>c</sub><sup>3</sup>/aを、コンクリート床版の回転角 $\theta_{s\theta}$ に影響を与える構造パラメータとして採用する。このパラメータが増加すると、 $\theta_{s\theta}$ は減少する。

#### 3.2. 横桁の回転角 $\theta_g$ に影響を与える構造パラメータ

図-6に示すように、支間中央に横桁を有する5本主桁のプレートガーダー橋において、G<sub>i</sub>桁の位置の横桁の回転角 $\theta_{gi}$ が次のように与えられている<sup>1), 2)</sup>。

$$\theta_{gi} = \{1/(56a)\} \Delta_i v \quad (4)$$

ここに、v=(v<sub>1</sub>, v<sub>2</sub>, v<sub>3</sub>, v<sub>4</sub>, v<sub>5</sub>)<sup>T</sup>、v<sub>i</sub>：横桁連結部におけるG<sub>i</sub>桁の鉛直変位、T：転置記号、 $\Delta_i$ ： $\theta_{gi}$ とvを関連づける定数から成る行ベクトル。

主桁と横桁の交点に集中荷重Pが作用するとき、G<sub>i</sub>桁の鉛直変位v<sub>i</sub>は次式で与えられる。

$$v_i = P q_{ij} \lambda^3 / (48E_s r_i I_g) \quad (5)$$

ここに、q<sub>ij</sub>：G<sub>j</sub>桁の交点に集中荷重が作用したときのG<sub>i</sub>桁の荷重分配係数、λ：主桁の支間長、E<sub>s</sub>：鋼のヤング係数、r<sub>i</sub>=I<sub>gi</sub>/I<sub>g</sub>、I<sub>gi</sub>：G<sub>i</sub>桁の断面2次モーメント、I<sub>g</sub>：5本主桁の中から任意に選ばれた主桁の断面2次モーメント。

荷重分配係数q<sub>ij</sub>は次式で定義される曲げ格子剛度Zとr<sub>i</sub>を変数とする関数によって与えられる。

$$Z = (I_g/I_g) \{\lambda/(2a)\}^3 \quad (6)$$

ここに、I<sub>g</sub>：横桁の断面2次モーメント。

式(5)を式(4)へ代入して、次式を得る。

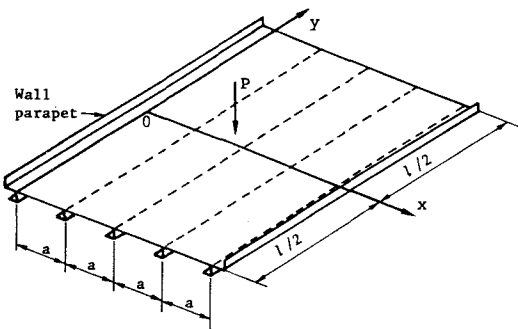


図-5 集中荷重を受けるコンクリート床版

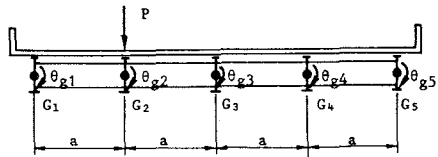


図-6 横桁の回転角  $\theta_{gi}$

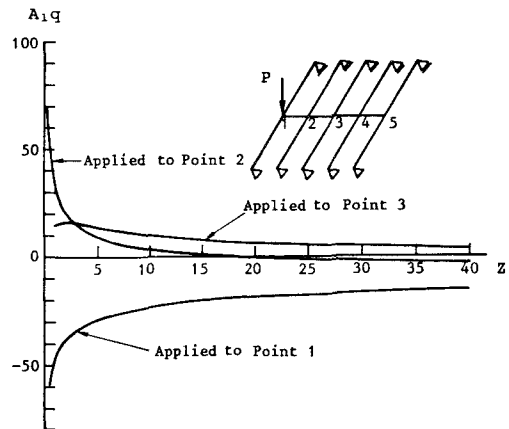


図-7  $A1q$  と  $Z$  の関係

$$\theta_{gi} = P \{1/(2688E_s)\} \{\ell^3/(a I_g)\} A1q \quad (7)$$

ここで、 $q_i = (q_{1i}/r_1, q_{2i}/r_2, q_{3i}/r_3, q_{4i}/r_4, q_{5i}/r_5)^T$ 。

一例として、G<sub>1</sub>桁の位置の横桁の回転角  $\theta_{g1}$ に対応する  $A1q$  と  $Z$  の関係を図-7に示す。  $q$  中の  $r_i$  を全て1としてこの計算を行った。格点3に集中荷重  $P$  が作用する場合を除いて、 $Z$  が約10以下の範囲で、 $A1q$  は  $Z$  に反比例していると見なすことができる。したがって、 $Z \leq 10$  のとき、式(7)の  $\{\ell^3/(a I_g)\} A1q$  は  $\{\ell^3/(a I_g)\}/Z$  に比例し、さらに、式(6)を考慮すると、 $\{\ell^3/(a I_g)\}/Z$  は  $a^2/I_g$  に比例する。他方、 $Z$  が10以上になると、 $A1q$  はほぼ一定になるので、式(7)の中で変動する項は  $\{\ell^3/(a I_g)\}$  のみとなる。

以上の考察から、横桁の回転角  $\theta_{gi}$  に影響を与える構造パラメータとして、次のパラメータを採用する。

$$Z \leq 10 \text{ のとき } I_g/a^2 \quad (8)$$

$$Z > 10 \text{ のとき } a I_g/\ell^3 \quad (9)$$

構造パラメータ  $I_g/a^2$  または  $a I_g/\ell^3$  が増加すると、 $\theta_{gi}$  は減少する。

#### 4. 構造パラメータと疲労亀裂発生の関係

##### 4.1. 疲労亀裂の発生調査が行われた橋の諸元

疲労亀裂の発生調査が行われた高速道路の2つの路線AとB上のプレートガーダー橋の諸元を表-1に示す<sup>5), 6)</sup>。橋には、支間中央に横桁が設けられ、一定の間隔で対傾構が設けられている。路線A、Bとも交通に供用されてから17年間経過した後、疲労亀裂の発生調査が行われた。路線A上の径間の主桁本数、コンクリート床版厚は路線B上の区間B1と同じである。しかし、路線Bの区間B1と区間B2上の径間の主桁本数およびコンクリート床版厚は異なっている。主桁間隔は、路線A、Bの間で大きな差はない。

表-1 プレートガーダー橋の諸元

	Route		
	A	B	
		B1	B2
<i>l</i> (m)	21.4 ~ 39.3	24.4 ~ 47.9	24.4 ~ 39.4
No. of main girders	5	5	6
<i>a</i> (m)	3.74 ~ 3.99	3.85	3.61
<i>t<sub>c</sub></i> (cm)	18	18	20
No. of investigated bridges	158	58	119

表-2 疲労亀裂の発生率

	Route		
	A	B	
	B1	B2	
Exterior girders	Type 1	20	67
	Type 4	30	43
Interior girders	Type 1	11	62
	Type 4	5	40

(%)

#### 4.2. 疲労亀裂の発生率

タイプ1と4の疲労亀裂の発生率を表-2に示す。発生率の定義は次の通りである。

$$\text{発生率} = \{ (\text{疲労亀裂が発見された径間の合計}) / (\text{調査された径間の合計}) \} \times 100 \% \quad (10)$$

主桁本数とコンクリート床版厚が等しく、さらに、主桁間隔がほぼ等しい路線Aと路線Bの区間B1の発生率が異なるのは、路線Aと路線Bの交通量および交通荷重の相違によると考える。

#### 4.3. タイプ1の疲労亀裂

$\theta_{sa}$ に影響を与える構造パラメータは  $t_c^3/a$  である。路線Aと路線Bの区間B1の  $t_c^3/a$  の値は 15  $\text{cm}^2$  であり、路線Bの区間B2の  $t_c^3/a$  の値は 22  $\text{cm}^2$  である。

$\theta_g$  に影響を与える構造パラメータは、Zの大きさに応じて  $I_g/a^2$  または  $aI_g/l^3$  である。Zに関する径間数の分布を図-8に示す。疲労亀裂の発生調査が行われたプレートガーダー橋は鋼主桁とコンクリート床版がスタッドで合成されている。したがって、両者の合成断面に対する断面2次モーメントを中主桁について求め、これをZの中の  $I_g$  に用いた。この計算の際、コンクリート床版の有効幅を道路橋示方書<sup>7)</sup>の規定に従い、さらに、鋼とコンクリートのヤング係数比を7とした。

$Z \leq 10$  の領域の径間について、路線Aの  $I_g/a^2$  とタイプ1の疲労亀裂発生の関係を図-9に示す。第2章の局部応力の計算で取り上げられたプレートガーダー橋のZは6.7で、 $I_g/a^2$  は 3.1  $\text{cm}^2$  である。このプレートガーダー橋においては、タイプ1の疲労亀裂を発生させる局部応力  $\sigma_{my}$  に対する  $\theta_g$  の影響が小さいこ

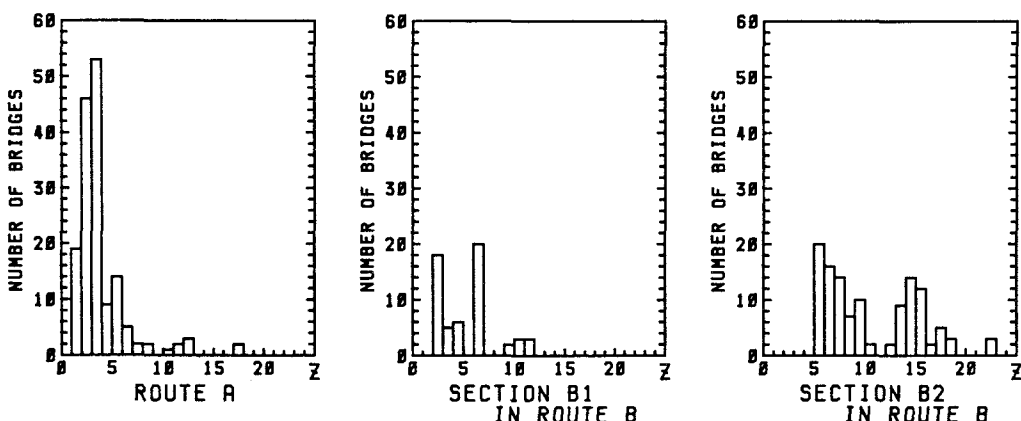


図-8 Zに関する径間数の分布

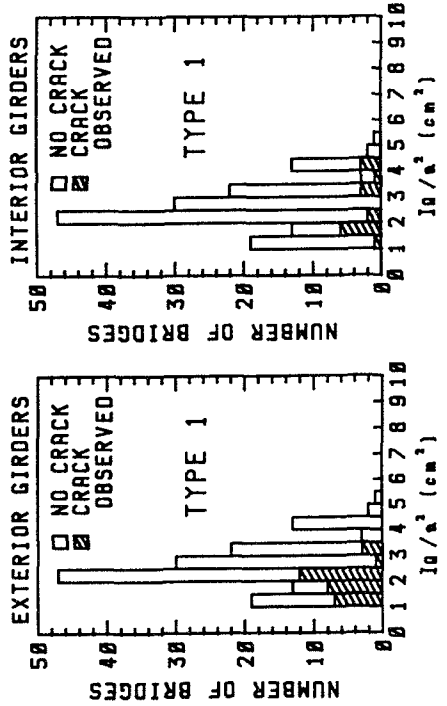


図-9 路線Aの $I_0/a^2$ とタイプ1の疲労亀裂発生の関係

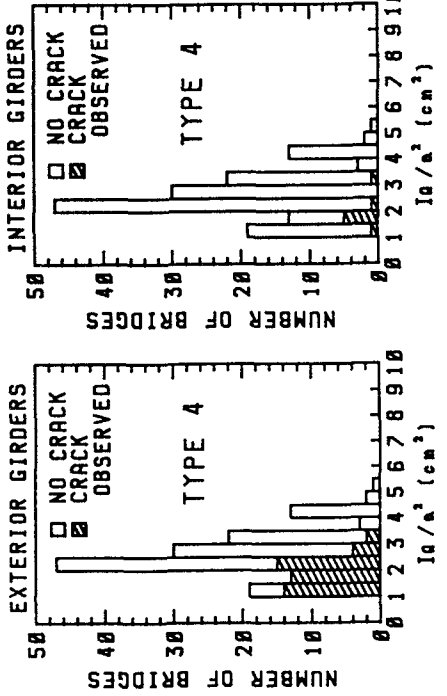


図-11 路線Aの $I_0/a^2$ とタイプ4の疲労亀裂発生の関係

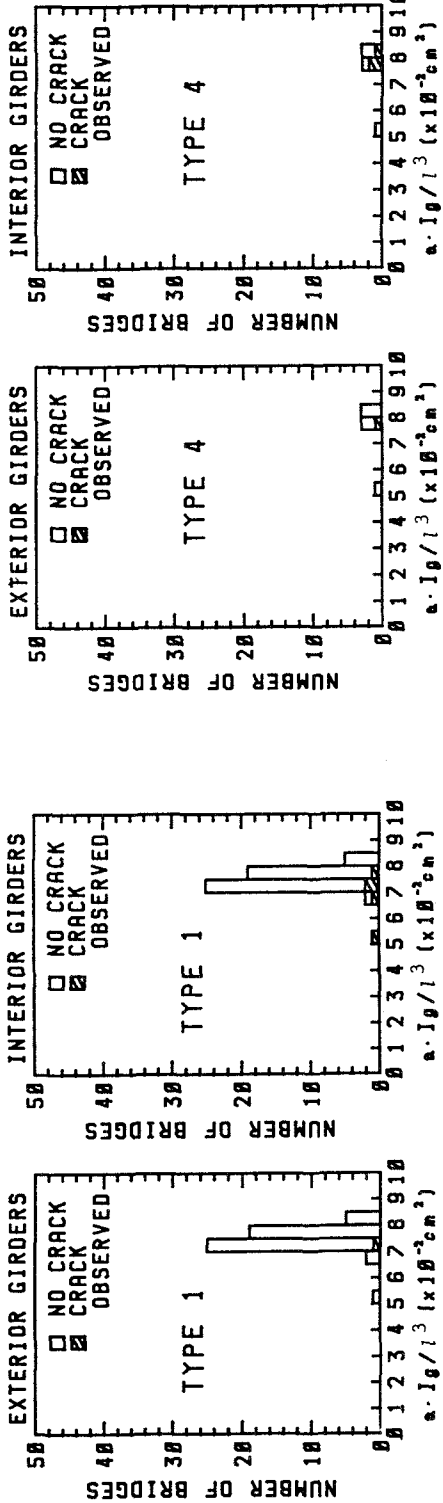


図-10 路線Bの区間B 2の $I_0/a^2$ とタイプ1の疲労亀裂発生の関係

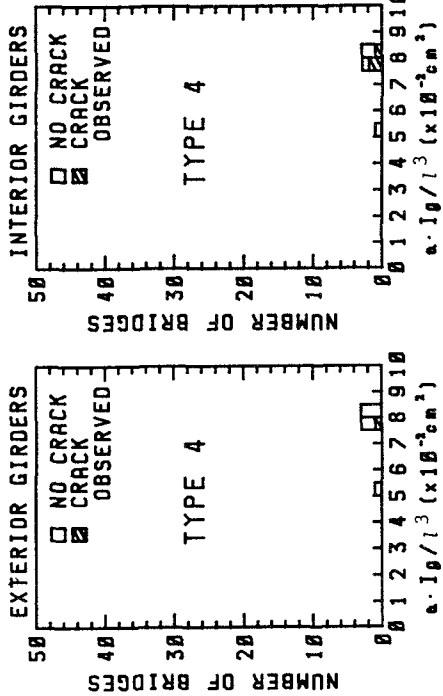


図-12 路線Bの区間B 1の $I_0/a^2$ とタイプ4の疲労亀裂発生の関係

とが示された。しかし、図-9において、 $I_o/a^2$ が $3.0\text{ cm}^2$ より大きい径間においてタイプ1の疲労亀裂が発生している。これは、 $\theta_{se}$ すなわちコンクリート床版の回転のみによって、タイプ1の疲労亀裂が発生することを示している。他方、 $I_o/a^2$ が $3.0\text{ cm}^2$ から減少すると、 $\theta_o$ が増加するので、 $\theta_{se}$ から生じる応力成分に $\theta_o$ から生じる応力成分が加わり、タイプ1の疲労亀裂の発生数が多くなる。

$Z > 10$ の領域の径間について、路線Bの区間B2の $a I_o/\lambda^3$ とタイプ1の疲労亀裂発生の関係を図-10に示す。第2章で取り上げられたプレートガーダー橋の $a I_o/\lambda^3$ は $5.9 \times 10^{-2}\text{ cm}^2$ である。したがって、 $a I_o/\lambda^3$ がこの値より大きい径間においては、 $\theta_o$ の影響は小さい。しかし、図-10において、 $a I_o/\lambda^3$ が $6.5 \times 10^{-2}\text{ cm}^2$ より大きな値を持つ径間でタイプ1の疲労亀裂が発生している。これは、前述と同様に、コンクリート床版の回転のみによって、タイプ1の疲労亀裂が発生することを示している。

#### 4.4. タイプ4の疲労亀裂

$Z \leq 10$ の領域の径間について、路線Aの $I_o/a^2$ とタイプ4の疲労亀裂発生の関係を図-11に示す。 $I_o/a^2$ が増加すると、タイプ4の疲労亀裂を発生させる局部応力 $\sigma_{by}$ に対する $\theta_o$ の影響が小さくなるので、タイプ4の疲労亀裂の発生数が少なくなる。 $I_o/a^2$ が $8.5\text{ cm}^2$ 以上の径間においてはタイプ4の疲労亀裂が発生していない。

$Z > 10$ の領域の径間について、路線Bの区間B1の $a I_o/\lambda^3$ とタイプ4の疲労亀裂発生の関係を図-12に示す。同一路線上の区間B2ではタイプ4の疲労亀裂が発生しなかった。これは、区間B2の $\theta_{se}$ に関する構造パラメータ $t_o^3/a$ の値が区間B1より大きいので、区間B2の $\theta_{se}$ から生じる局部応力 $\sigma_{by}$ が区間B1より小さいからである。

### 5. 結論

本論文では、プレートガーダー橋の主桁と横桁の連結部に発生するタイプ1と4の疲労亀裂を支配する構造パラメータを誘導した。

コンクリート床版の回転に関する構造パラメータ： $t_o^3/a$

横桁の回転に関する構造パラメータ： $Z \leq 10$ の場合、 $I_o/a^2$

$Z > 10$ の場合、 $a I_o/\lambda^3$

これらの構造パラメータと疲労亀裂発生の関係を調べた。これらの構造パラメータの値が小さい径間において、疲労亀裂が発生する可能性が高い。タイプ1の疲労亀裂は、コンクリート床版の回転のみの影響によって発生する可能性がある。

今後、交通荷重を考慮して、疲労亀裂を防止するために必要なこれらの構造パラメータの値を決定する予定である。

### 謝辞

資料収集に御協力を賜った阪神高速道路公団の宇藤滋・中村一平の両氏に心から感謝する。

### 参考文献

- 1)大倉一郎・指吸政男・平野浩：プレートガーダー橋の横桁連結部の局部応力と橋の3次元挙動の関係、構造工学論文集、Vol.33A、pp.373-382、1987。
- 2)Okura, I., Yubisui, M., Hirano, H. and Fukumoto, Y.: Local stresses at cross beam connections of plate girder bridges, Proc. of JSCE Struct. Eng./Earthq. Eng., Vol.5, No.1, pp.89s-97s, Japan Society of Civil Engineers, 1988.
- 3)Okura, I. and Fukumoto, Y.: Fatigue of cross beam connections in steel bridges, IABSE, 13th Congress, Helsinki, pp.741-746, 1988.
- 4)Okura, I., Hirano, H. and Yubisui, M.: Stress measurement at cross beam connections of plate girder bridges, Technol. Repts. Osaka Univ., Vol.37, No.1883, pp.151-160, 1987.
- 5)阪神高速道路公団・内外工営株式会社：鋼I桁格点部亀裂集計分析業務、1985年3月。
- 6)阪神高速道路公団：鋼I桁格点部亀裂の集計、1987年。
- 7)日本道路協会：道路橋示方書・同解説、1980。

(1988年10月12日受付)